

การเพิ่มความถูกต้องของภารណาน้ำหนัก grub ทุกขณะเดลี่ อนที่ด้วยเทคนิคการคำนวณช้า



นาย ธรรม อัครวิทยาภูมิ

ศูนย์วิทยทรัพยากร จุฬลงกรณ์มหาวิทยาลัย

วิทยานิพนธ์นี้เป็นส่วนหนึ่งของการศึกษาตามหลักสูตรปริญญาวิศวกรรมศาสตร์มหาบัณฑิต

สาขาวิชาวิศวกรรมโยธา ภาควิชาวิศวกรรมโยธา

คณะวิศวกรรมศาสตร์ จุฬลงกรณ์มหาวิทยาลัย

ปีการศึกษา 2545

ISBN 974-17-2685-6

ลิขสิทธิ์ของจุฬลงกรณ์มหาวิทยาลัย

ACCURACY IMPROVEMENT OF MOVING TRUCK WEIGHT IDENTIFICATION BY ITERATION
TECHNIQUE



Mr. Tawat Akarawittayapoom

A Thesis Submitted in Partial Fulfillment of the Requirements
for the Degree of Master of Engineering in Civil Engineering

Department of Civil Engineering

Faculty of Engineering

Chulalongkorn University

Academic Year 2002

ISBN 974-17-2685-6

หัวข้อวิทยานิพนธ์

การเพิ่มความถูกต้องของการหารือหนังสือบรรยายทุกขณะเดลีอนที่ด้วย
เทคนิคการคำนวณช้า

โดย

นายธวัช อัครวิทยาภูมิ

สาขาวิชา

วิศวกรรมโยธา

อาจารย์ที่ปรึกษา

ผู้ช่วยศาสตราจารย์ ดร. ทศพล ปันแก้ว

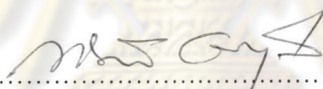
คณะกรรมการศาสตร์ จุฬาลงกรณ์มหาวิทยาลัย อนุมัติให้นับวิทยานิพนธ์ฉบับนี้เป็นส่วน
หนึ่งของการศึกษาตามหลักสูตรบริโภคภาษาไทย habilit



คณะกรรมการศาสตร์

(ศาสตราจารย์ ดร. สมศักดิ์ ปัญญาแก้ว)

คณะกรรมการสอบบัณฑิต



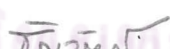
ประธานกรรมการ

(ศาสตราจารย์ ดร. ทักษิณ เทพชาตรี)



อาจารย์ที่ปรึกษา

(ผู้ช่วยศาสตราจารย์ ดร. ทศพล ปันแก้ว)



กรรมการ

(อาจารย์ ดร. รุจวนี พึงศิริ)

จุฬาลงกรณ์มหาวิทยาลัย

ชื่อชั้น อัคคีวิทยาภูมิ : การเพิ่มความถูกต้องของการน้ำหนักรถบรรทุกขณะเคลื่อนที่ด้วยเทคนิคการคำนวณขั้น (ACCURACY IMPROVEMENT OF MOVING TRUCK WEIGHT IDENTIFICATION BY ITERATION METHOD)

อ. ที่ปรึกษา : ผศ.ดร. ทศพล ปันแก้ว, 89 หน้า, ISBN 974-17-2685-6

ในงานวิจัยครั้งนี้ได้ทำการน้ำหนักรถบรรทุกขณะเคลื่อนที่บนสะพาน โดยใช้สัญญาณโมเม็นต์ของสะพานที่แต่ละหน้าตัด ความเร็วรถบรรทุก จำนวนเพลา และระยะห่างระหว่างเพลาของรถบรรทุก มาเป็นข้อมูลในการน้ำหนักรถบรรทุก และได้มีการนำเทคนิคการคำนวณขั้นมาช่วยในการคำนวณเพื่อให้ได้ค่าน้ำหนักที่ถูกต้องมากยิ่งขึ้น โดยในส่วนแรกนี้จะเป็นการจำลองการวิ่งของรถบรรทุกผ่านสะพานขั้นบนคอมพิวเตอร์ เพื่อทำการศึกษาถึงผลกระทบจากตัวแปรต่างๆที่มีผลต่อการน้ำหนัก ตัวแปรที่ทำการศึกษาได้แก่ ค่าพารามิเตอร์ที่เหมาะสม (λ) ความเร็วของรถบรรทุก ความชุ纪律ของผู้ทาง อัตราส่วนของน้ำหนักเพลานหน้าต่อน้ำหนักเพลานหลัง และค่าสติฟเนสของสปริงที่เพลากของรถบรรทุก ซึ่งจากการศึกษาจะได้ว่า ผลของความเร็วของรถบรรทุกกับความชุ纪律ของผู้ทาง จะมีผลกระทบมากกว่าตัวแปรอื่นๆ

ในส่วนที่สอง แบบจำลองย่อส่วนของรถบรรทุกและสะพานได้ถูกจำลองขึ้น และนำมาทำการน้ำหนักแทนการจำลองขั้นบนคอมพิวเตอร์ดังที่ได้กล่าวมา ซึ่งจะได้ทำการทดสอบด้วยแบบจำลองย่อส่วน และทำการศึกษาถึงความถูกต้องของการน้ำหนัก

จากการทดสอบเป็นจำนวน 96 การทดสอบได้มีการเปลี่ยนแปลงค่าน้ำหนักรถบรรทุก ความเร็วรถบรรทุก และอัตราส่วนของน้ำหนักเพลานหน้าต่อเพลานหลัง ผลที่ได้แสดงให้เห็นว่า เทคนิคการคำนวณขั้นนี้สามารถเพิ่มความถูกต้องในการคำนวณน้ำหนักได้มากขึ้นกว่าวิธีการปกติ ซึ่งค่าความคลาดของน้ำหนักรวมรถบรรทุก น้ำหนักเพลานหลัง และน้ำหนักเพลานหน้านั้นไม่เกิน 5% 12% และ 39% ตามลำดับ

ศูนย์วิทยทรัพยากร จุฬาลงกรณ์มหาวิทยาลัย

ภาควิชา วิศวกรรมโยธา

สาขาวิชา วิศวกรรมโยธา

ปีการศึกษา 2545

ลายมือชื่อนิสิต ๙๘ ลักษณะที่

ลายมือชื่ออาจารย์ที่ปรึกษา ๑ ๒

MR. TAWAT AKARAWITTAYAPOOM : ACCURACY IMPROVEMENT OF MOVING TRUCK
WEIGHT IDENTIFICATION BY ITERATION METHOD
THESIS ADVISOR : ASSISTANT PROFESSOR DR. TOSPOL PINKAEW, 89 pp, ISBN 974-17-
2685-6

This research was conducted on the truck weight identification while moving on the bridge. The moment signals from various bridge sections, truck velocity, number of axles, the distance between axles were used as input data. The main objective of the research is to improve the existing identification accuracy by adopting the iteration technique. Moreover, the iteration method was used to facilitate in this calculation in order to increase the accuracy of the result. In the first part, the model of a truck traveling on a bridge was simulated using computer. The influences from various variables on identification accuracy such as parameter (λ), truck velocity, rough surface of the bridge, ratio of front axle weight to back axle weight, and spring stiffness of the axle were studied. As a result, it was found that the velocity and the roughness of the surface have more influence than other variables.

In the second part, the scaled models of the truck and the bridge were constructed and were employed instead of the previous computer models used in the first part. With these experimental models, the accuracy of truck weight identification was again studied.

About 96 case of experiment having various truck weights, truck speeds and the weight ratios of front axle to rear axle were conducted. Based on the obtained results, it was found that the iteration technique can substantially improve the identification accuracy over the conventional method. This improvement raises the accuracy to be within 5%, 12% and 39% for total, rear axle and front axle weights, respectively.

ศูนย์วิทยทรัพยากร จุฬาลงกรณ์มหาวิทยาลัย

Department CIVIL ENGINEERING
Concentration CIVIL ENGINEERING
Academic year 2002

Student's signature Tawat Akarawittayapoom.
Advisor's sinature Tospol R

กิตติกรรมประกาศ

วิทยานิพนธ์ฉบับนี้สำเร็จลุล่วงไปได้ด้วยความช่วยเหลือสนับสนุนอย่างดียิ่งจากท่านเหล่านี้ ได้แก่ ผู้ช่วยศาสตราจารย์ ดร. ทศพล ปันแก้ว อาจารย์ที่ปรึกษาที่ได้ให้คำปรึกษาและแนะนำการจัดทำวิทยานิพนธ์ให้มีความสมบูรณ์มากที่สุด ศาสตราจารย์ ดร. ทักษิณ เทพชาตรี ที่ได้ให้ความกรุณารับเป็นประธานของคณะกรรมการสอบวิทยานิพนธ์ รวมทั้งได้ให้ความกรุณาตรวจแก้และให้คำปรึกษาในการทำวิทยานิพนธ์นี้ อาจารย์ ดร. รัญวัฒน์ โพธิคิริ ที่ได้ให้ความกรุณารับเป็นกรรมการสอบวิทยานิพนธ์ รวมทั้งได้ให้ความกรุณาตรวจแก้และให้คำปรึกษาในการทำวิทยานิพนธ์นี้ บริษัท นีโอลูฟ จำกัด ดร. เฉลิมพล โลหะรัตนเสนห์ และคุณจรุญ ทัพนภัทร ที่ได้สนับสนุนเครื่องมือในการทำการทดสอบ รวมทั้งยังได้ให้ความกรุณาในการซ่อมแซมเครื่องมือต่างๆ และให้คำแนะนำในการแก้ไขปัญหาต่างๆ ได้เป็นอย่างดี พี่ๆ ที่ควบคุมห้องปฏิบัติการโยธา และพี่ๆ ที่ควบคุมห้องปฏิบัติการคอมพิวเตอร์ ที่ได้ให้ความช่วยเหลือมาโดยตลอด

นอกจากบุคคลท่านต่างๆ ที่ได้กล่าวมาแล้วข้างต้น ยังได้รับความช่วยเหลือจากหน่วยงานบัณฑิตวิทยาลัย จุฬาลงกรณ์มหาวิทยาลัย ที่ได้ให้เงินทุนสนับสนุนในการศึกษาวิจัย

ท้ายที่สุดนี้ ผู้วิจัยขอกราบขอบพระคุณ บิดา-มารดา พี่น้อง และ เพื่อนๆ ที่ได้ให้การสนับสนุนในทุกๆ ด้าน รวมทั้งได้ให้กำลังใจแก่ผู้วิจัยในการศึกษาเป็นอย่างดี

ศูนย์วิทยทรัพยากร
จุฬาลงกรณ์มหาวิทยาลัย

สารบัญ

	หน้า
บทคัดย่อภาษาไทย	๑
บทคัดย่อภาษาอังกฤษ	๑
กิตติกรรมประกาศ	๒
สารบัญ	๓
สารบัญตาราง	๔
สารบัญภาพ	๕

บทที่

1 บทนำ	1
1.1 ความเป็นมา	1
1.2 งานวิจัยที่ผ่านมา	2
1.3 วัตถุประสงค์	5
1.4 ขอบเขตการวิจัย	5
1.5 ประโยชน์ที่คาดว่าจะได้รับ	6
1.6 การดำเนินงานวิจัย	6
2 หลักการและทฤษฎีที่เกี่ยวข้อง	7
2.1 การสร้างรูปแบบจำลองเพื่อจำลองความเครียด	7
2.1.1 การจำลองรูปแบบปฏิกิริยาตอบสนองซึ่งกันและกันระหว่างสะพานกับรถบรรทุก	7
2.1.2 การสร้างสมการการเคลื่อนที่ของปฏิกิริยาตอบสนองซึ่งกันและกันระหว่างสะพานกับรถบรรทุก	8
2.1.3 การหาความเครียดจากแบบจำลอง	9
2.2 การหาหน้าที่รถเคลื่อนที่	10
2.2.1 การจำลองด้วยชิ้นส่วนคน	11
2.2.2 การหาเมटริกซ์ความหน่วง (damping matrix) ของระบบ	14
2.2.3 การหาแรงที่ข้าวจากแรงภายนอกที่มากทำ	16
2.2.4 การสร้างสมการการเคลื่อนที่	17
2.2.5 วิธีการหาเมटริกซ์ F	18
2.2.6 หลักการหาหน้าที่รถ	19
2.2.7 การวัดความเครียด	20
2.2.8 ไนมิกโปรแกรมมิง (Dynamic Programming)	20
2.2.9 ขั้นตอนการคำนวณ	23
2.3 วิธีการคำนวณช้า	24

บทที่		หน้า
3 การหาน้ำหนักรถบรรทุกโดยเทคนิคการคำนวณชั้น	28
3.1 แบบจำลองย่อส่วนของสะพานและรถบรรทุก	28
3.2 ค่าพารามิเตอร์ที่เหมาะสม	29
3.3 ตัวแปรที่มีผลกระทบต่อการหาน้ำหนักรถบรรทุก	32
3.3.1 ผลกระทบจากความเร็วของรถบรรทุก	34
3.3.2 ผลกระทบจากความชุ่มชื้นของผิวน้ำ	35
3.3.3 ผลกระทบจากอัตราส่วนของน้ำหนักเพลาน้ำกับเพลาน้ำ	37
3.3.4 ผลกระทบจากค่าสติฟเนสของสปริงที่เพลากของรถบรรทุก	38
3.4 ผลกระทบเนื่องจากความเร็วและความชุ่มชื้นที่มีต่อการหาน้ำหนักรถบรรทุก	40
3.5 การหาน้ำหนักรถบรรทุกเมื่อมีสัญญาณรบกวน	41
3.6 ผลกระทบเนื่องจากความคลาดเคลื่อนของข้อมูลที่ใช้ในการหาน้ำหนักรถบรรทุก	45
4 การออกแบบและติดตั้งแบบจำลองย่อส่วน	47
4.1 แบบจำลองย่อส่วนของรถบรรทุก	47
4.2 แบบจำลองย่อส่วนของสะพาน	48
4.3 ขั้นตอนการติดตั้งสเตรนเกจและตำแหน่งการติดตั้งของสเตรนเกจ	50
4.3.1 ขั้นตอนการติดตั้งสเตรนเกจ	50
4.3.2 ตำแหน่งที่ติดตั้งสเตรนเกจ	51
4.4 อุปกรณ์ที่ใช้ในการทดสอบ	52
4.4.1 อุปกรณ์ที่ใช้ในการเก็บสัญญาณ	52
4.4.2 ตัวเซนเซอร์ที่ใช้หาตำแหน่งของรถ	53
4.5 การตรวจสอบการทำงานของสเตรนเกจ	55
5 การปรับเทียบแบบจำลอง	60
5.1 การหาคุณสมบัติพื้นฐานของสะพาน	60
5.2 การปรับเทียบแบบจำลอง	61
6 ผลการทดสอบและการวิเคราะห์ความถูกต้องของการหาน้ำหนัก	70
6.1 การตรวจสอบผลของพารามิเตอร์	70
6.2 กรณีทดสอบหาน้ำหนักรถบรรทุกจำลอง	71
6.3 กรณีสุมทายหาน้ำหนักรถบรรทุกจำลอง	76
7 สรุปผล	84
รายการอ้างอิง	87
ประวัติผู้เขียนวิทยานิพนธ์	89

สารบัญตาราง

	หน้า
ตารางที่ 3.1 ค่าตัวแปรต่างๆที่ใช้ในการทดสอบผลของค่าพารามิเตอร์	31
ตารางที่ 3.2 ค่าตัวแปรต่างๆที่ใช้ในการทดสอบในกรณีทั่วไป	32
ตารางที่ 4.1 ค่าความเครียดที่ทำແเน่งสเตรนเกตตัวต่างๆ	56
ตารางที่ 5.1 ค่าน้ำหนักเพลานน้ำ, เพลานลัง และน้ำหนักร่วม และเปอร์เซ็นต์ความเคลื่อน	68
ตารางที่ 6.1 ค่าตัวแปรต่างๆที่ใช้ในการทดสอบผลของค่าพารามิเตอร์	70
ตารางที่ 6.2 ค่าตัวแปรต่างๆที่ใช้ในการทดสอบการหายน้ำหนัก	71
ตารางที่ 6.3 ค่าน้ำหนักของเพลานน้ำ เพลานลัง และน้ำหนักร่วมของระบบรวมทุกที่ แต่ละการทดสอบ	72
ตารางที่ 6.4 ค่าตัวแปรต่างๆที่ใช้ในการทดสอบผลของค่าพารามิเตอร์	76
ตารางที่ 6.5 ค่าน้ำหนักของเพลานน้ำ, เพลานลัง และน้ำหนักร่วมของระบบรวม สำหรับอัตราส่วนที่ 1	77
ตารางที่ 6.6 ค่าน้ำหนักของเพลานน้ำ, เพลานลัง และน้ำหนักร่วมของระบบรวมทุก สำหรับอัตราส่วนที่ 2	78
ตารางที่ 6.7 ค่าน้ำหนักของเพลานน้ำ, เพลานลัง และน้ำหนักร่วมของระบบรวมทุก สำหรับอัตราส่วนที่ 3	79
ตารางที่ 6.8 ค่าน้ำหนักของเพลานน้ำ, เพลานลัง และน้ำหนักร่วมของระบบรวมทุก สำหรับอัตราส่วนที่ 4	80
ตารางที่ 6.9 ค่าเปอร์เซ็นต์ความคลาดเคลื่อนของน้ำหนักที่ความนำ้จะเป็น 95%	83

ศูนย์วิทยบริพยาภิช
วิชาลังกรณ์มหาวิทยาลัย

สารบัญภาพ

	หน้า
รูปที่ 2.1 รูปแบบจำลองระหว่างสะพานกับระบบตรวจ	7
รูปที่ 2.2 ความเด่นที่หน้าตัดใด ๆ ของคาน เนื่องจากน้ำหนักบนระบบ	9
รูปที่ 2.3 แบบจำลองคานของอยเลอร์-เบอร์นูลี	11
รูปที่ 2.4 แบบจำลองชิ้นส่วนของคาน	11
รูปที่ 2.5 แรงที่ขึ้นเนื่องจากแรงภายนอกที่มากจะทำ	16
รูปที่ 2.6 ค่าหน้าแน่นของด้านมีนิวเคลียร์ในระบบมิ่ง	24
รูปที่ 2.7 ค่าความเครียดที่วัดจริงและค่าความเครียดที่คำนวณจากไดนามิกโปรแกรมมิ่ง	25
รูปที่ 2.8 ค่าหน้าแน่นเนื่องจากผลทางสถิต	25
รูปที่ 2.9 ค่าความเครียดเนื่องจากผลทางสถิต	26
รูปที่ 2.10 ค่าความเครียดเนื่องจากผลทางพลศาสตร์	27
รูปที่ 3.1 ขนาดของสะพานคอนกรีตเสริมเหล็ก	30
รูปที่ 3.2 ขนาดของระบบตรวจ	30
รูปที่ 3.3 ค่าหน้าแน่นเมื่อคำนวณจากค่าพารามิเตอร์เท่ากับ 10 และ 0.5	29
รูปที่ 3.4 ค่าหน้าแน่นเมื่อใช้เทคนิคการคำนวณขั้น โดยค่าพารามิเตอร์เท่ากับ 10	30
รูปที่ 3.5 ค่าความคลาดเคลื่อนของน้ำหนักทางสถิตที่ค่าพารามิเตอร์ต่างๆ	31
รูปที่ 3.6 ค่าความคลาดเคลื่อนของน้ำหนักทางพลศาสตร์ที่ค่าพารามิเตอร์ต่างๆ	31
รูปที่ 3.7 ค่าหน้าแน่นเพลาหน้า เพลาหลัง และน้ำหนักรวม ในแต่ละรอบของการคำนวณ	32
รูปที่ 3.8 ค่าหน้าแน่นรวม และน้ำหนักรวมทางสถิตในแต่ละรอบของการคำนวณ	33
รูปที่ 3.9 ค่าความคลาดเคลื่อนของน้ำหนักทางสถิตในแต่ละรอบของการคำนวณ	33
รูปที่ 3.10 ค่าความคลาดเคลื่อนของน้ำหนักทางพลศาสตร์ในแต่ละรอบของการคำนวณ	34
รูปที่ 3.11 ค่าความคลาดเคลื่อนของน้ำหนักทางสถิตที่ความเร็วต่างๆ	34
รูปที่ 3.12 ค่าความคลาดเคลื่อนของน้ำหนักทางพลศาสตร์ที่ความเร็วต่างๆ	35
รูปที่ 3.13 ค่าความคลาดเคลื่อนของน้ำหนักทางสถิตที่ความชุ纪律ต่างๆ	36
รูปที่ 3.14 ค่าความคลาดเคลื่อนของน้ำหนักทางพลศาสตร์ที่ความชุ纪律ต่างๆ	36
รูปที่ 3.15 ค่าความคลาดเคลื่อนของน้ำหนักทางสถิตที่อัตราส่วนเพลาต่างๆ	37
รูปที่ 3.16 ค่าความคลาดเคลื่อนของน้ำหนักทางพลศาสตร์ที่อัตราส่วนเพลาต่างๆ	37
รูปที่ 3.17 ค่าความคลาดเคลื่อนของน้ำหนักทางสถิตที่เบอร์เร็นด์ของค่าสติฟเนสต่างๆ	38
รูปที่ 3.18 ค่าความคลาดเคลื่อนของน้ำหนักทางพลศาสตร์ที่เบอร์เร็นด์ของค่าสติฟเนสต่างๆ	39
รูปที่ 3.19 ค่าความคลาดเคลื่อนของน้ำหนักทางสถิตทั้งก่อนและหลัง	
จากผ่านการคำนวณขั้น	40
รูปที่ 3.20 ค่าความคลาดเคลื่อนของน้ำหนักทางพลศาสตร์ทั้งก่อนและหลัง	
จากผ่านการคำนวณขั้น	41
รูปที่ 3.21 สัญญาณรบกวน	42

สารบัญภาพ (ต่อ)

۹۲

หน้า	42
รูปที่ 3.22 ขนาดของสัญญาณรบกวนที่ความถี่ต่างๆ	42
รูปที่ 3.23 สัญญาณที่ทำการเก็บวัดมาได้ซึ่งมีสัญญาณรบกวนปนอยู่	43
รูปที่ 3.24 ค่าความคลาดเคลื่อนของน้ำหนักทางสถิติที่เปอร์เซ็นต์ของ สัญญาณรบกวนต่างๆ	43
รูปที่ 3.25 ค่าความคลาดเคลื่อนของน้ำหนักทางพลศาสตร์ที่เปอร์เซ็นต์ของ สัญญาณรบกวนต่างๆ	44
รูปที่ 3.26 ค่าความคลาดเคลื่อนของน้ำหนักทางสถิติที่ระยะห่างระหว่างเพลาค่าต่างๆ	45
รูปที่ 3.27 ค่าความคลาดเคลื่อนของน้ำหนักทางพลศาสตร์ที่ระยะห่างระหว่างเพลาค่าต่างๆ	46
รูปที่ 4.1 แบบจำลองย่อส่วนรถบรรทุก	47
รูปที่ 4.2 ขนาดของแบบจำลองย่อส่วนของรถบรรทุก	48
รูปที่ 4.3 แบบจำลองสะพานทั้งสามช่วง	48
รูปที่ 4.4 ร่างอลูมิเนียมรูปตัวゆที่ติดตั้งบนสะพาน	49
รูปที่ 4.5 ลักษณะน้ำหนักกระทำแบบจุดบนสะพาน	50
รูปที่ 4.6 ขั้นตอนการติดตั้งสเตรนเกจ	51
รูปที่ 4.7 ก ตำแหน่งในการติดตั้งสเตรนเกจใต้สะพาน	51
รูปที่ 4.7 ก ตำแหน่งในการติดตั้งสเตรนเกจใต้สะพาน	52
รูปที่ 4.8 รูปกล่องบริคคอมพเล็ทชัน	52
รูปที่ 4.9 รูปดาต้าล็อกเกอร์	53
รูปที่ 4.10 เชนเชอร์ที่ติดตั้งไว้ใต้แบบจำลองรถบรรทุก	53
รูปที่ 4.11 รูปตัวเชนเชอร์วัดความเร็ว	54
รูปที่ 4.12 แบบที่ขาวดำ	54
รูปที่ 4.13 สัญญาณที่ตัวเชนเชอร์เก็บข้อมูล	54
รูปที่ 4.14 การทดสอบโดยวางน้ำหนักที่กลางสะพาน	55
รูปที่ 4.15 สัญญาณที่เก็บได้ที่ตำแหน่งกลางสะพาน	55
รูปที่ 4.16 ลักษณะการเคลื่อนที่ของตุ้มน้ำหนัก	57
รูปที่ 4.17 การทดสอบโดยวางน้ำหนักที่ริมสะพานแล้วเคลื่อนที่ไปอีกฝั่งที่ละ 5 cm	57
รูปที่ 4.18 ค่าความเครียดของสเตรนเกจบนหน้าตัด A	58
รูปที่ 4.19 ค่าความเครียดของสเตรนเกจบนหน้าตัด B	58
รูปที่ 4.20 ค่าความเครียดของสเตรนเกจบนหน้าตัด C	59
รูปที่ 4.21 ค่าความเครียดของสเตรนเกจที่เฉลี่ยเป็นกลุ่ม	59
รูปที่ 5.1 สัญญาณการสั่นไหวแบบอิสระ	60
รูปที่ 5.2 สัญญาณบน frequency domain	61
รูปที่ 5.3 การทดสอบที่ความเร็วต่างๆ	62

	หน้า
รูปที่ 5.4 ค่าโนเมนต์ที่ตำแหน่ง L/3 ของสะพาน	63
รูปที่ 5.5 ค่าโนเมนต์ที่ตำแหน่ง L/2 ของสะพาน	63
รูปที่ 5.6 ค่าโนเมนต์ที่ตำแหน่ง 2L/3 ของสะพาน	64
รูปที่ 5.7 น้ำหนักเพลาหน้า, เพลาหลังและน้ำหนักรวมของระบบ ruthukทางพลศาสตร์	64
รูปที่ 5.8 น้ำหนักรวมของระบบ ruthukทางสถิต	65
รูปที่ 5.9 ค่าโนเมนต์หลังจากปรับแก้ที่ตำแหน่ง L/3 ของสะพาน	65
รูปที่ 5.10 ค่าโนเมนต์หลังจากปรับแก้ที่ตำแหน่ง L/2 ของสะพาน	66
รูปที่ 5.11 ค่าโนเมนต์หลังจากปรับแก้ที่ตำแหน่ง 2L/3 ของสะพาน	66
รูปที่ 5.12 น้ำหนักเพลาหน้า, เพลาหลังและน้ำหนักรวมของระบบ ruthukทางพลศาสตร์ หลังจากการปรับแก้	67
รูปที่ 5.13 น้ำหนักรวมของระบบ ruthukทางสถิตหลังจากการปรับแก้	67
รูปที่ 6.1 ค่าความคลาดเคลื่อนของน้ำหนักทางสถิตที่ค่าพารามิเตอร์ ณ ความเร็ว 0.3m/s	70
รูปที่ 6.2 ค่าความคลาดเคลื่อนของน้ำหนักทางสถิตที่ค่าพารามิเตอร์ ณ ความเร็ว 0.6m/s	71
รูปที่ 6.3 ค่าน้ำหนักทางสถิตที่การคำนวณข้ามแต่ละรอบ ณ ความเร็ว 0.6 m/s	74
รูปที่ 6.4 ค่าความคลาดเคลื่อนของน้ำหนักทางสถิตที่การคำนวณข้าม แต่ละรอบ ณ ความเร็ว 0.6 m/s	74
รูปที่ 6.5 ค่าน้ำหนักทางสถิตที่การคำนวณข้ามแต่ละรอบ ณ ความเร็ว 1.0 m/s	75
รูปที่ 6.6 ค่าความคลาดเคลื่อนของน้ำหนักทางสถิตที่การคำนวณข้าม แต่ละรอบ ณ ความเร็ว 0.6 m/s	75
รูปที่ 6.7 ค่าน้ำหนักเพลาหน้าที่ท้ายได้เทียบกับน้ำหนักเพลาหน้าจริง	81
รูปที่ 6.8 ค่าน้ำหนักเพลาหลังที่ท้ายได้เทียบกับน้ำหนักเพลาหลังจริง	81
รูปที่ 6.9 ค่าน้ำหนักรวมของระบบ ruthukท้ายได้เทียบกับน้ำหนักรวมของระบบ ruthukจริง	82
รูปที่ 6.10 ค่าผลต่างระหว่างน้ำหนักที่ท้ายได้กับน้ำหนักจริงของเพลาหน้าและหลัง กับครั้งที่ของการทดสอบ	82